

ΜΕΛΕΤΗ ΠΑΛΑΙΟΡΗΓΜΑΤΩΝ ΤΟΥ ΙΟΥΡΑΣΙΚΟΥ ΣΤΗΝ ΙΟΝΙΟ ΖΩΝΗ ΤΗΣ ΗΠΕΙΡΟΥ

Β. Καρακίτσιος*

ΣΥΝΟΨΗ

Παρουσιάζεται η μελέτη των συνιζηματογενών παλαιορηγμάτων του Ιουρασικού της Ιονίου ζώνης και προσδιορίζεται ότι έδρασαν στο διάστημα Οξφόρδιο-Δομέριο και κυρίως στο Κάτω-Μέσο Τοάρσιο. Τα παλαιορήγματα αυτά συνδέονται με την εσωτερική διαφοροποίηση της Ιονίου λεκάνης σε μικρότερες παλαιογεωγραφικές ενότητες που αμέσως ακολούθησε την αρχική διαφοροποίηση της Ιονίου ζώνης από τις παρακείμενες ζώνες Παξών και Γαβρόβου και έλαβε χώρα στο Καριξίο (ηλικία των πρώτων ιζημάτων των οποίων η φάση σημειώνει τη βύθωση του Ιονίου χώρου). Τα παλαιορήγματα (κανονικά) που μελετήθηκαν -έχοντας παραμείνει άθικτα τόσο από την ορογενετική φάση συμπύεσης του Ολιγοκαίνου όσο και από τη μεταορογενετική νεοτεκτονική- αποδεικνύουν τον ρηξιγενή τεμαχισμό της αρχικής ανθρακικής πλατφόρμας κατά τη διάρκεια του Ιουρασικού, που μέχρι σήμερα δεν αποτελούσε παρα μόνον υπόθεση. Η διαφοροποίηση της Ιονίου ζώνης δείχνει όλα τα στάδια εξέλιξης ενός παθητικού περιθωρίου σε εφελκυσμό.

RESUME

L'étude des paléofailles synsédimentaires jurassiques de la zone ionienne montre qu'elles ont fonctionnées dans l'intervalle Oxfordien-Domérien et principalement au Toarcien inférieur à moyen. Ces paléofailles sont liées à la différenciation interne du bassin ionien en de petites unités paléogéographiques. Cette différenciation a suivi l'individualisation de la zone ionienne (par rapport aux zones adjacentes de Paxos et de Gavrovo) qui se place au Carixien (âge des premiers sédiments dont le faciès marque l'approfondissement du domaine ionien). Les paléofailles (normales) étudiées ayant restées intactes tant par la phase orogénique compressive de l'Oligocène que par la phase néotectonique (post-orogénique), démontrent la dislocation de la plate-forme carbonatée initiale pendant le Jurassique, ce qui constituait jusqu'aujourd'hui seulement une hypothèse. Enfin la formation du bassin ionien montre un bon exemple d'une marge passive en extension: la phase pré-rift correspond aux calcaires de Pantokrator (Lias inférieur à moyen p.p.), la phase syn-rift débute avec les calcaires de Siniais et Louros (Carixien), la phase post-rift s'installe avec le dépôt des calcaires de Vigla (Tithonique terminal-Senonien inférieur).

1. ΕΙΣΑΓΩΓΗ

Η υπόθεση περί της ύπαρξης παλαιορηγμάτων Ιουρασικής ηλικίας

Υ. ΚΑΡΑΚΙΤΣΙΟΣ - Etude des paléofailles jurassiques de la zone ionienne (Epire, Grèce).

* Département de Géologie Historique-Paléontologie. Université d'Athènes, Panepistimiopolis, 15784 ATHENES.

στην Ιόνιο Ξώνη, έγινε για πρώτη φορά από τους συγγραφείς του IGRS-IFP (1966) και στη συνέχεια από τους BERNOULLI & RENZ (1970). Οι παραπάνω συγγραφείς -χωρίς να διαπιστώσουν με άμεσες παρατηρήσεις τέτοια ρήγματα- τα θεώρησαν πιθανά για να ερμηνεύσουν τις μεγάλες και συχνά απότομες μεταβολές του πάχους και της φάσης καθώς και τα κενά ιζηματογένεσης των Ιουρασικών σχηματισμών της Ιονίου Ξώνης. Σε μια πρόσφατη εργασία (ΚΑΡΑΚΙΤΣΙΟΣ 1988) η λεπτομερής λιθοστρωματογραφική μελέτη καθώς και ορισμένες πρώτες άμεσες παρατηρήσεις τέτοιων ρημάτων που συνδέονταν με συνιζηματογενείς πτυχές (slumping) οδήγησαν στην πρόταση ενός μοντέλου εξέλιξης της Ιονίου Ξώνης κατά το Ιουρασικό. Σύμφωνα μ'αυτό η ακολουθία των Ιουρασικών ιζημάτων της Ιονίου Ξώνης μπορεί να ερμηνευτεί με τη διαδικασία εξέλιξης ενός παθητικού περιθωρίου σε εφελκυσμό, ως εξής:

- οι ασβεστόλιθοι Παντοκράτορα που αποτίθενται στον Ιόνιο χώρο κατά το Κατώτερο Γιάσιο-Μέσο Γιάσιο p.p. (AUBOUIN, 1959; IGRS-IFP, 1966; ΚΑΡΑΚΙΤΣΙΟΣ & TSAILA-MONOPOLIS, 1988), αποτελούν ιζήματα νηριτικής πλατφόρμας η οποία δεν διαχωρίζεται από την εκτενή νηριτική πλατφόρμα που καταλάμβανε όλη τη Δυτική Ελλάδα,
- στο τέλος του Μέσου Γιάσιου η εκτενή αυτή πλατφόρμα δέχεται εφελκυσμό που προκαλεί αρχικά ασθενή βύθιση σε όλο το χώρο της Ιονίου όπως πιστοποιείται από την απόθεση των ασβεστολίθων Σινιών και Γούρου, ενώ οι παρακείμενοι χώροι της Απούλιας και του Γαβρόβου παρέμειναν νηριτικοί σε όλη τη διάρκεια της αλπικής ιζηματογένεσης. Ο εφελκυσμός συνεχίζεται και προκαλεί έντονο ρηξιγενή τεμαχισμό (block-faulting) -μέσω λιστρικών ρημάτων- της δημιουργηθείσας λεκάνης, που έχει ως αποτέλεσμα το διαχωρισμό της σε μικρές παλαιογεωγραφικές ενότητες καθένα από τις οποίες υφίσταται διαφορετική βύθιση εξαιτίας της περιστροφής που προκαλούν τα λιστρικά ρήγματα. Έτσι σε κάθε ενότητα στο ένα άκρο της αντιστοιχεί μεγαλύτερο βάθος απ'ότι στο άλλο, με συνέπεια οι υπερκείμενοι της Ιουρασικοί σχηματισμοί να αποτεθούν κατά τρόπο ώστε στα βαθύτερα τμήματα να αντιστοιχούν οι παχιές και πλήρεις ακολουθίες των Ξωνών "Α" και "Β" του IGRS-IFP (1966) ενώ στα αραθέστερα η ελαττωμένη και με κενά ιζηματογένεσης ακολουθία της Ξώνης "C",
- στο τέλος του Ιουρασικού έχουμε ομογενοποίηση των συνθηκών ιζηματογένεσης σε όλη την Ιόνιο λεκάνη όπως προκύπτει από την απόθεση των ασβεστολίθων Βίγλας, οι οποίοι με τον υψηλό τους ρυθμό ιζηματογένεσης τείνουν να εξαλείψουν άλλες τις υποθαλάσσιες τοπογραφικές διαφορές.

Παρόλα αυτά η μελέτη υπαρκτών παλαιορημάτων που θα επιβεβαίωνε ανεπιφύλακτα το παραπάνω μοντέλο δεν είχε παρουσιασθεί. Η παρούσα εργασία έρχεται, αφενός μεν να παρουσιάσει για πρώτη φορά τη μελέτη συνιζηματογενών κανονικών παλαιρημάτων του Ιουρασικού όπως αυτά προέκυψαν από την άμεση παρατήρηση και να προσδιορίσει με τη βοήθεια του στρωματογραφικού τους πλαισίου την ακριβή τους ηλικία, εφετέρου δε με νέα στρωματογραφικά στοιχεία να βελτιώσει το προηγούμενο μοντέλο. Αξίζει να σημειωθεί εδώ ότι η δυσκολία της άμεσης παρατήρησης τέτοιων ρημάτων ξεκινά από το γεγονός, ότι τα κανονικά αυτά ρήγματα -μετά τη δημιουργία τους στο Ιουρασικό- Εναλειτούρησαν μεταγενέστερα σαν ανάστροφα ρήγματα ή επιφάνειες

επίπλευσης υπό την επίδραση των αλπικών ορογενετικών δυνάμεων συμπύεσης του Ολιγοκαινού (KARAKITSIOS 1986) χάνοντας μ' αυτό το τρόπο τους πρωτογενείς τους χαρακτήρες, που στη συνέχεια τροποποιήθηκαν επιπρόσθετα από τη μεταορογενετική νεοτεκτονική. Εντούτοις η εμονή στην αναζήτηση θέσεων όπου όλη αυτή η ιστορία θα είχε αφήσει άθικτα κάποια παλαιορήγματα έδωσε όπως θα δούμε τους καρπούς της.

II. ΠΑΡΑΤΗΡΗΣΕΙΣ

α- Θέση Κλεισούρα

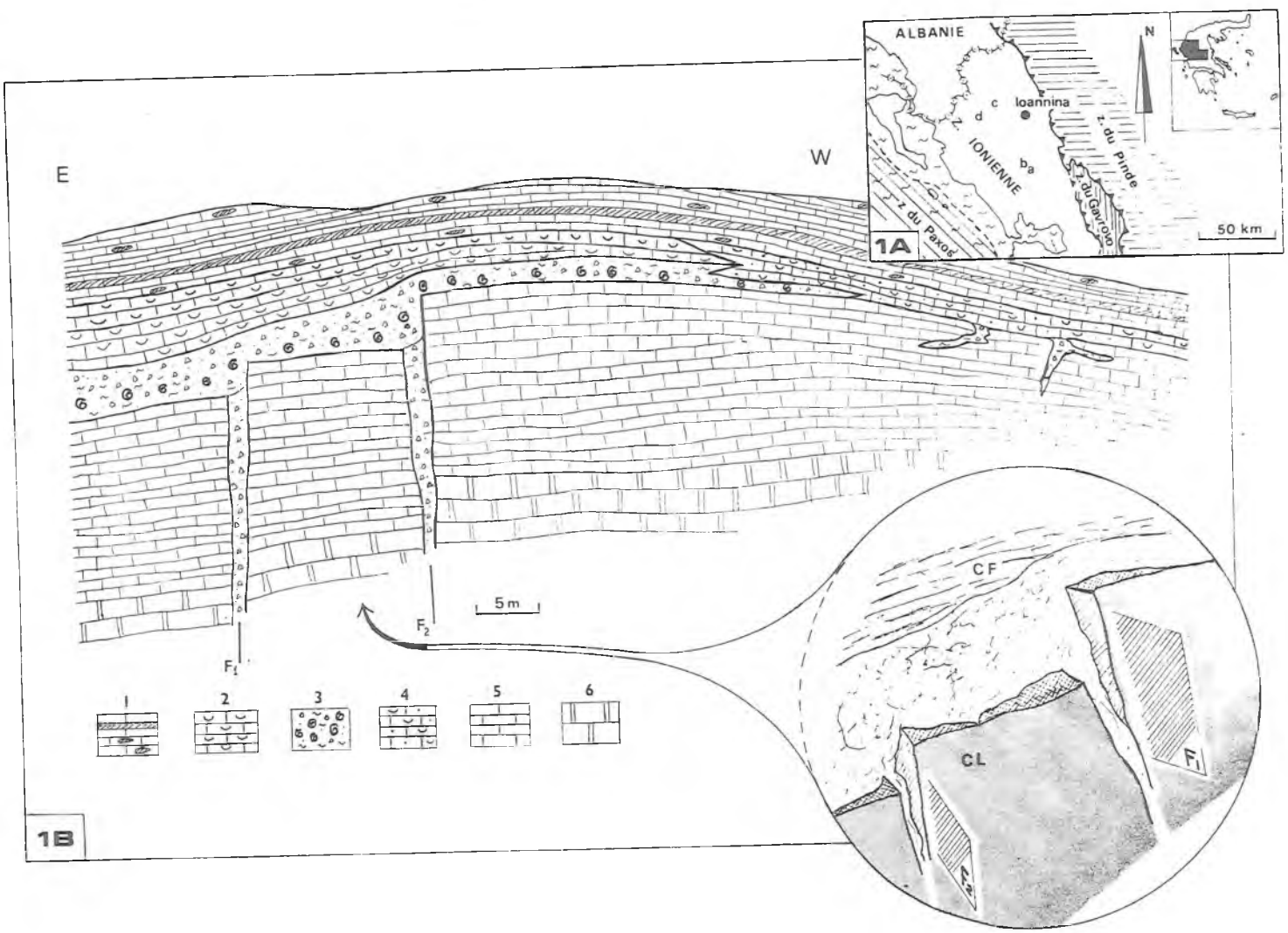
Η θέση βρίσκεται 500 περίπου μέτρα ΝΑ του χωριού Κλεισούρα (Σχ. 1Α, α). Βαδίζοντας πάνω στο λόφο που αρχίζει από την Ανατολική όχθη του ποταμού Γούρου, παρατηρούμε στα Δυτικά ότι μεταξύ ασβεστόλιθων Βίχλας του Ανωτέρου Τιθωνίου-Κατώτερου Σενωνίου (BP, 1971; KARAKITSIOS & al., 1988) και "ασβεστόλιθων Γούρου" (βλέπε KARAKITSIOS & TSAILA-MONOPOLIS 1988) παρεμβάλλονται ορισμένα μέτρα από λευκοκίτρινους μικριτικούς ασβεστόλιθους πλούσιους σε πελαχικά ελασματοβράχια και "filaments". Παρατηρούνται επίσης συχνά ιζηματογενείς φλέβες (sedimentary dykes) που διασχίζουν τους ασβεστόλιθους Γούρου και είναι πληρωμένες με κιτρινέρυθρο ως πρασινωπό μαρμαίκο και λατυποπαχές ασβεστολιθικό υλικό, πλούσιο σε πελαχικά ελασματοβράχια και "filaments". Προς τα Ανατολικά παρατηρώντας προσεκτικά διαπιστώνουμε ότι το πάχος των παρεμβαλλομένων ιζημάτων παρουσιάζει προοδευτική αύξηση ενώ αρχίζει να διαφοροποιείται στη βάση τους, σχηματισμός κονδυλωδών ασβεστολιθών (φάσης Ammonitico Rosso) με Αμμωνίτες που δείχνουν Κάτω Κιμμερίδια ηλικία (KARAKITSIOS & BONNEAU υπό δημοσίευση). Ο σχηματισμός αποκτά μεγαλύτερο πάχος όταν φθάνουμε στη θέση του Σχ. 1Β, όπου παρατηρούνται τα παλαιορήγματα. Τα ρήγματα αυτά που

Σχ. 1Α: Προσδιορισμός των μελετηθέντων θέσεων (α: Κλεισούρα, β: Άνω Κουκλέσι, γ: Ιερομνήμη, δ: Βελούνα)

Fig. 1A: Localisation des sites étudiés (a: Klissoura, b: Ano Kouklessi, c: Ieromnimi, d: Velouna)

Σχ. 1Β: Παλαιορήγματα που έδρασαν στο διάστημα Ανώτερο Λιάσιο-Κιμμερίδιο εντός των οποίων αναπτύχθηκαν ιζηματογενείς φλέβες: 1: ασβεστόλιθοι Βίχλας, 2: μικριτικοί ασβεστόλιθοι με filaments, 3: Ammonitico Rosso του Κιμμερίδιου, 4: συμπαγείς ασβεστόλιθοι που πιθανώς αντιπροσωπεύουν πλευρικά ελαττωμένους τους σχηματισμούς 2 και 3, 5: ασβεστόλιθοι Γούρου (Καρίσιο), 6: ασβεστόλιθοι Παντοκράτορα (Κατώτερο ως Μέσο Λιάσιο). Στο κύκλο, στερεογραμμική λεπτομέρεια των παλαιορηγμάτων.

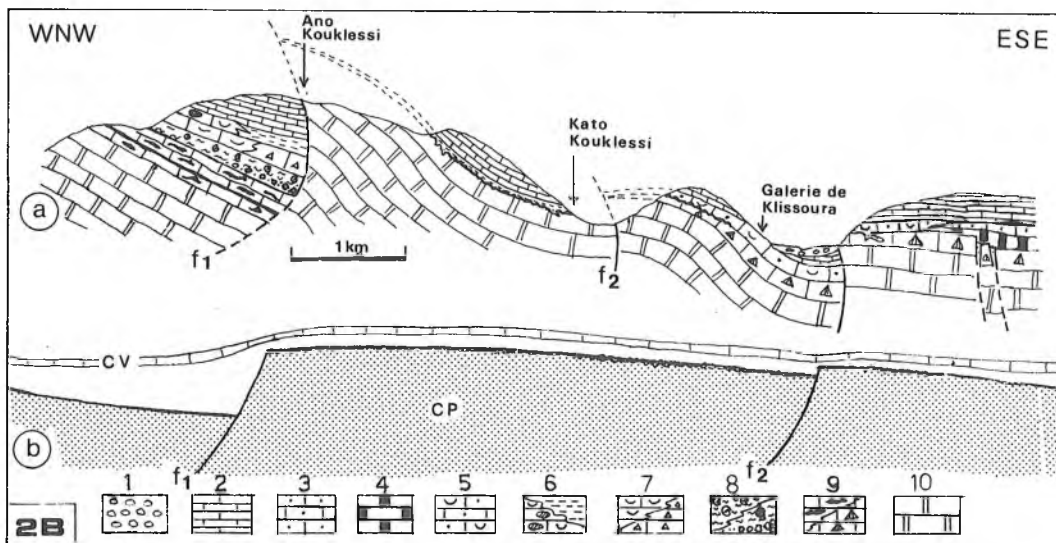
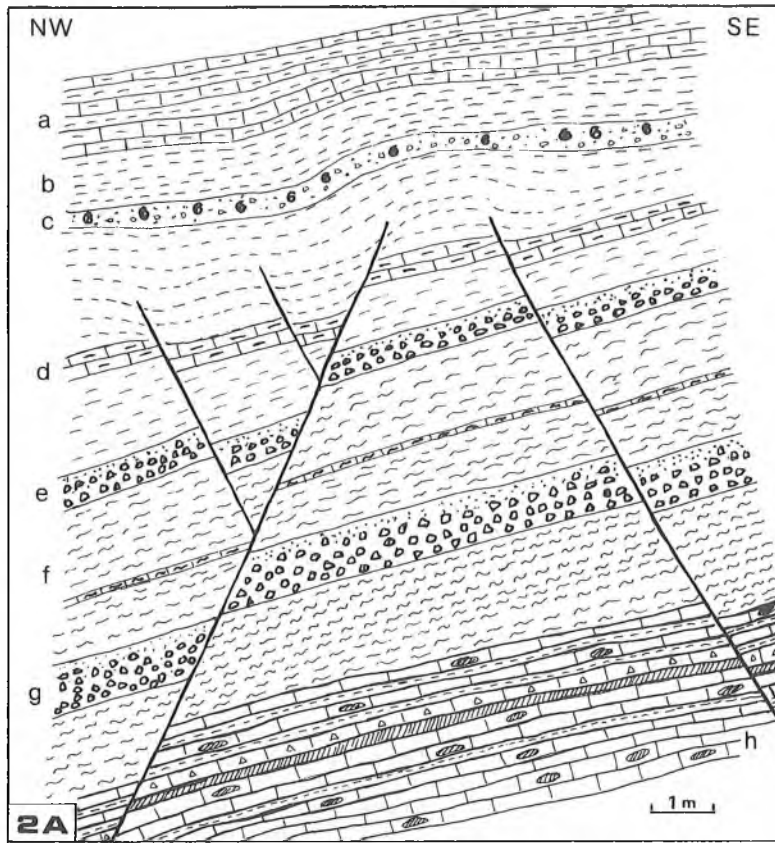
Fig. 1B: Paléofailles de Lias supérieur-Kimmeridgien dans lesquelles sont développés des filons sédimentaires (1: calcaires de Vigla, 2: calcaires micritiques à filaments, 3: Ammonitico Rosso du Kimmeridgien, 4: calcaires micritiques massifs, représentant probablement les formations 2 et 4 réduites, 5: calcaires de Louros (Carixien), 6: calcaires de Pantokrator (Lias inférieur à moyen). Dans le cercle, détail en bloc-diagramme des paléofailles.



παρουσιάζουν άλματα, 5 μέτρα περίπου το πρώτο (F1) και 3 μέτρα το δεύτερο (F2), αποτελούν αναμφίβολα παλαιορήγματα καθότι δεν προσβάλλουν με βεβαιότητα τους υπερκείμενους των κονδυλωδών ασβεστολίθων μικριτικούς ασβεστόλιθους με ελασματοβράχια και filaments (Σχ. 1B). Έχουν και τα δύο διεύθυνση ΒΒ0-NNA και είναι σχεδόν κατακόρυφα, χαρακτηρίζονται δε ιδιαίτερα από το γεγονός ότι δεν μπορούμε να προσδιορίσουμε τη κατοπτρική τους επιφάνεια δεδομένου ότι τα μετακινθέντα μεταξύ τους τεμάχια δεν βρισκονται σε απευθείας επαφή αλλά παρουσιάζουν ένα διάκενο -δύο περίπου μέτρων για το πρώτο ρήγμα (F1) και λίγο μικρότερο για το δεύτερο(F2)- το οποίο είναι πληρωμένο με ασβεστομαρμαίικό κιτρινέρθρο υλικό πλούσιο σε Ακτινόζωα, filaments και θραύσματα Χινοδέρμων. Με άλλα λόγια έχουμε την παρουσία ιζηματογενών φλεβών (sedimentary dykes) που αναπτύχθηκαν εντός των επιφανειών διάρρηξης. Δεν θα επεκταθούμε εδώ στο μηχανισμό της δημιουργίας των ιζηματογενών φλεβών και του παλαιογεωγραφικού περιβάλλοντος στο οποίο πραγματοποιήθηκαν, θα προσπαθήσουμε μόνο λαμβάνοντας υπόψη τα στρωματογραφικά δεδομένα να προσδιορίσουμε την ακριβή ηλικία δημιουργίας των παλαιορηγμάτων. Τα ρήγματα αυτά είναι μεταγενέστερα από την απόθεση των ασβεστολίθων Ηούρου τους οποίους προσβάλλουν, επομένως νεότερα από το Καρλίειο -ηλικία των ασβεστολίθων Ηούρου όπως προσδιορίστηκε με Αμμωνίτες και Βραχχιονόποδα (KARAKITSIOS & BONNEAU, υπό δημοσίευση) και παλαιότερα από το Μέσο ως Ανώτερο Κιμμερικό που πιθανώς αντιπροσωπεύει την ηλικία απόθεσης των μικριτικών ασβεστολίθων με ελασματοβράχια και filaments τους οποίους τα ρήγματα αυτά με βεβαιότητα δεν προσβάλλουν. Η θέση Κλεισούρα δείχνει επιπλέον ένα κενό ιζηματογένεσης των ιζημάτων του Ιουρασικού, από το Καρλίειο ως το Ωεφόρδιο.

β- Θέση Ανω Κουκλέσι

Η θέση βρίσκεται 1300 περίπου μέτρα ΝΝ0 από το χωριό Ανω Κουκλέσι (Σχ. 1Α,β) και αντιστοιχεί στο Νότιο τμήμα του Ωυτικού σκέλους του "σύγκλινου Κουκλεσίου". Ο όρος "σύγκλινο" που χρησιμοποιήθηκε από τους συγγραφείς του IGRS-IFP 1966 δεν είναι σωστός, στην πραγματικότητα δεν πρόκειται παρα για μονόκλινο στο οποίο οι υπερκείμενοι των ασβεστολίθων Παντοκράτορα Ιουρασικοί σχηματισμοί ελαττώνονται σε πάχος προοδευτικά προς τα Ωυτικά (η παρατήρηση αυτής της προοδευτικής ελάττωσης είναι ιδιαίτερα φανερή στο Βόρειο τμήμα του "σύγκλινου" στη θέση Τόκα). Η θέση λοιπόν μελέτης αντιστοιχεί στο πλέον βυθισθέν τμήμα του περιστρεπτού τεμάχους -προς τα Ανατολικά το "σύγκλινο Κουκλεσίου", σύμφωνα με το παλαιογεωγραφικό μοντέλο του Ιουρασικού (KARAKITSIOS 1988), οριοθετείται θεωρητικά από ένα μεγάλο παλαιορήγμα (Σχ. 2B), γιατί έχουμε εξαφάνιση των ασβεστολίθων Σινιών καθώς και ελάχιστο πάχος (2 ως 4 μέτρα) στα ιζήματα που παρεμβάλλονται μεταξύ ασβεστολίθων Παντοκράτορα και Βίγλας- και χι αυτό το λόγο εμφανίζει μια πλήρη ακολουθία πάνω από τους ασβεστόλιθους Παντοκράτορα με: ασβεστόλιθους Σινιών (100-120 μ), Ammonitico Rosso (30 μ) που στη βάση χαρακτηρίζεται ιδιαίτερα από την παρουσία δύο λατυποπαχών οριζόντων πάχους 1 ως 1,5 μέτρα με λατύπες μεχέθους από 1 ως 50 εκατοστά, ασβεστόλιθους με filaments (40-45 μ), ανώτερους σχιστόλιθους με Ποσειδώνιες (50 μ). Στα 10 πρώτα μέτρα του Ammonitico Rosso παρατηρούνται τα συζυγή ρήγματα του Σχ. 2Α, με άλματα που κυμαίνονται από 1,5



μέτρο ως ορισμένες δεκάδες εκατοστά. Τα ρήγματα αυτά έχουν όλα διεύθυνση Β 20° - 25°. Προσβάλλουν τα στρώματα από το κατώτερο τμήμα του Ammonitico Rosso και προς τα κάτω, ενώ προς τα πάνω είναι καλυμμένα από αδιατάρακτα στρώματα. Πρόκειται επομένως περί συνιζηματογενών κανονικών παλαιορηγμάτων των οποίων η ηλικία προηγείται ελάχιστα της ηλικίας του λατυποπαχούς ορίζοντα (c) του Σχ. 2Α που περικλείει Αμμωνίτες του Μέσου Τοαρσίου (ΚΑΡΑΚΙΤΣΙΟΣ 1988). Οεδομένου δε ότι τα κορυφαία τμήματα των ασβεστόλιθων Σινιών (h) που θίγονται από τα ρήγματα είναι Ανω Πλιενσβαχίου ηλικίας (IGRS-IFP 1966), προκύπτει ότι συνιζηματογενή παλαιορήγματα είναι Κάτω Τοαρσίου ηλικίας. Πρέπει να σημειωθεί ότι παρόμοια ρήγματα με τα παραπάνω που προσβάλλουν τους ίδιους

Σχ. 2Α: Συνιζηματογενή παλαιορήγματα Κάτω Τοαρσίου ηλικίας (είναι καλυμμένα από αδιατάρακτα στρώματα του Μέσου Τοαρσίου) που παρατηρούνται απευθείας στο ύπαιθρο (a: κονδυλώδεις ασβεστόλιθοι, b: ερυθρές μάρκες, c: λατυποπαχής ορίζοντας που περικλείει Αμμωνίτες του Μέσου Τοαρσίου, d: ερυθροί μαργαχικοί ασβεστόλιθοι, e,g: λατυποπαχείς ενδιαστρώσεις, f:κυανόχκριζες φυλλώδεις μάρκες, h: ασβεστόλιθοι Σινιών).

Fig. 2A: Paléofailles normales synsédimentaires d'âge Toarcien inférieur (elles sont cachetées par des couches intactes du Toarcien moyen) directement observées sur l'affleurement (a: calcaires noduleux, b: marnes rouges, c: niveau bréchiqúe contenant des Ammonites du Toarcien moyen, d: calcaires marneux rouges, e,g: intercalations bréchiqúes, f: marnes gris-bleues feuilletées, h: calcaires de Siniais).

Σχ. 2Β: Παράδειγμα αναπαράστασης συνιζηματογενών παλαιορηγμάτων Ανω Λιασίου ηλικίας, a) συνθετική τομή (1:Τεταρτογενές, 2:ασβεστόλιθοι Βίγλας, 3: μικριτικοί ασβεστόλιθοι με filaments, 4: Ammonitico Rosso του Κιμμεριδίου, 5: ασβεστόλιθοι με πελαχικά ελασματοβράχια, 6:ανώτεροι σχιστόλιθοι με Ποσειδώνιες, 7:ασβεστόλιθοι με filaments, 8:Ammonitico Rosso (Τοάρσιο-Ααλένιο), 9:ασβεστόλιθοι Σινιών και Λούρου, 10:ασβεστόλιθοι Παντοκράτορα), b) απλοποιημένη αναπαράσταση με την ίδια κλίμακα της διάταξης των στρωμάτων στο τέλος του Ιουρασικού. Τα αναπαριστάμενα εδώ παλαιορήγματα είναι περίπου σύγχρονα με αυτά του Σχ. 2Α (CV:ασβεστόλιθοι Βίγλας, CP:ασβεστόλιθοι Παντοκράτορα μαζί με ασβεστόλιθους Σινιών και Λούρου).

Fig. 2B: Exemple de reconstitution de failles synsédimentaires d'âge Lias supérieur, a) coupe synthétique (1:Quaternaire, 2:calcaires de Vigla, 3:calcaires micritiques à filaments, 4:Ammonitico Rosso du Kimmeridgien, 5:calcaires à lamellibranches pélagiques, 6:schistes à Posidonies supérieures, 7:calcaires à filaments, 8:Ammonitico Rosso (Toarcien-Aalenien), 9:calcaires de Siniais et Louros, 10:calcaires de Pantokrator), b) reconstitution simplifiée à la même échelle de la disposition des couches à la fin du Jurassique. Les paléo-accidents tectoniques reconstitués ici sont en gros contemporains de ceux de la Fig. 2A (CV:calcaires de Vigla, CP:calcaires de Pantokrator avec calcaires de Siniais et Louros).

στρωματογραφικούς ορίζοντες παρατηρήθηκαν στο ΝΔ τμήμα του "συγκλίνου" (Σχ. 3Α), όπου επιπλέον κατά θέσεις παρατηρούνται συνιζηματογενείς πτυχές της ίδιας διεύθυνσης με τα συνιζηματογενή ρήγματα. Τέλος μικρότερης κλίμακας συνιζηματογενή ρήγματα παρατηρούνται στο Βόρειο τμήμα του "συγκλίνου".

γ- Θέση Ιερομνήμη

Σε απόσταση 200 περίπου μέτρων Δυτικά του χωριού Ιερομνήμη (Σχ. 1Α, C) -στις Ανατολικές πρόποδες του Κασιδιάρη- παρατηρούμε ότι στη βάση των κατωτέρων σχιστολίθων με Ποσειδώνιες οι ανωμαλίες της στρωματογραφικής τους επαφής με τους υποκείμενους ασβεστόλιθους Σινιών -που θεωρήθηκαν από τους συγγραφείς του IGRS-IFP (1966) ως διαβρωμένη επιφάνεια των ασβεστολίθων Σινιών επί της οποίας αποτέθηκαν οι ορίζοντες της βάσης των σχιστολίθων με Ποσειδώνιες (Σχ. 3B)- αντιστοιχούν στην πραγματικότητα σε ανάγλυφο που προκύπτει (Σχ. 3Γ) από τη δράση μικρών κανονικών συνιζηματογενών παλαιορρηγμάτων (διεύθυνσης ΒΒΩ-ΝΝΑ) που προσβάλλουν τους ασβεστόλιθους Σινιών και ορισμένα μόνο μέτρα από τους κατώτερους σχιστόλιθους με Ποσειδώνιες. Τα παλαιορρηγματα αυτά είναι επομένως Κάτω Τοαρσίου ηλικίας.

Σχ. 3Α: Συνιζηματογενή κανονικά παλαιορρηγματα Κάτω Τοαρσίου ηλικίας στα ΝΔ του "συγκλίνου Κουκλεσίου" (a:αδιατάρακτοι μαρμαίκοι ασβεστόλιθοι με Αμμωνίτες του Μέσου Τοαρσίου, b:λατυποπαχής ενδιάστρωση, c:κονδυλώδεις μαρμαίκοι ασβεστόλιθοι, d: κυανόχκριζες φυλλώδεις μάρκες).

Fig. 3A: Paléofailles normales synsédimentaires d'âge Toarcien inférieur au SW du "synclinal de Kouklessi" (a: calcaires marneux -non affectés par les paléofailles- à Ammonites du Toarcien moyen, b:intercalation bréchique, c:calcaires marneux noduleux, d:marnes bleues feuilletées).

Σχ. 3B: Ασυμφωνία των σχιστολίθων με Ποσειδώνιες επί των ασβεστολίθων Σινιών στην Ιερομνήμη (κατά IGRS-IFP 1966).

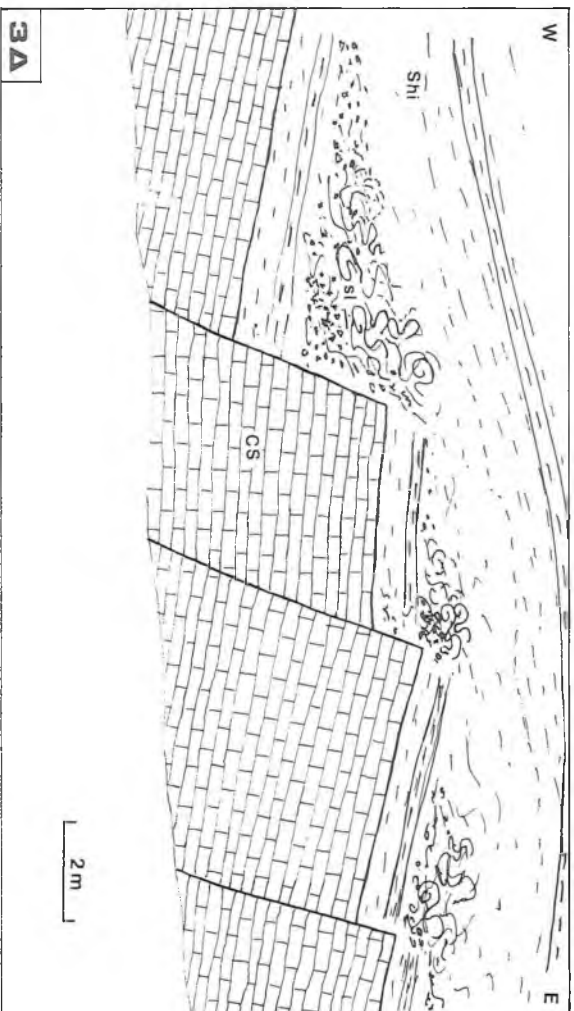
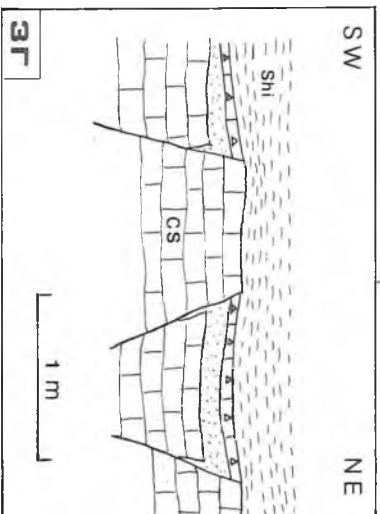
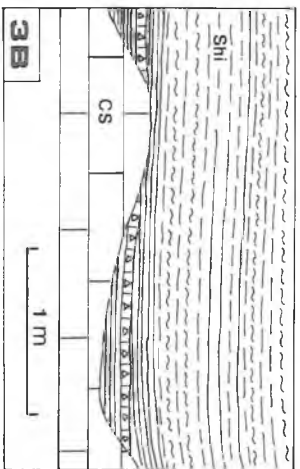
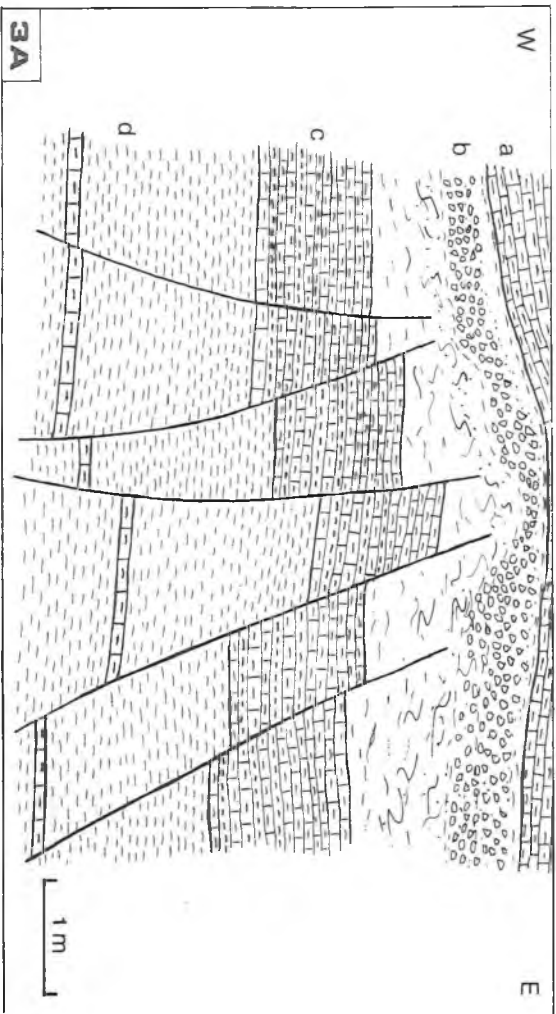
Fig. 3B: Discordance des schistes à Posidonies sur les calcaires de Siniais à Ieromnimi (d'après IGRS-IFP 1966).

Σχ. 3Γ: Το ίδιο σχήμα (Σχ. 3B) αποδιδόμενο στη δράση κανονικών συνιζηματογενών ρηγμάτων (Shi:κατώτεροι σχιστόλιθοι με Ποσειδώνιες, CS:ασβεστόλιθοι Σινιών).

Fig. 3Γ: Le même schéma (Fig. 3B) expliqué par le fonctionnement des failles normales synsédimentaires (Shi:schistes à Posidonies inférieurs, CS:calcaires de Siniais).

Σχ. 3Δ: Συνιζηματογενή παλαιορρηγματα του Τοαρσίου στα νότια του όρους Βελούνα (Shi:κατώτεροι σχιστόλιθοι με Ποσειδώνιες, sl:συνιζηματογενείς πτυχές, CS:ασβεστόλιθοι Σινιών).

Fig. 3Δ: Paléofailles synsédimentaires au sud du mont Velouna (Shi: schistes à Posidonies inférieurs, sl:slumps, CS:calcaires de Siniais).



δ- θέση Βελούνα

Ο δρόμος που οδηγεί από το χωριό Βροσίνα προς το χωριό Κεραμίτσα περνώντας από τις Νότιες πρόποδες του όρους Βελούνα (Σχ. 1Α,δ) κόβει την επαφή ασβεστολίθων Σιλιών με τους κατώτερους σχιστόλιθους με Ποσειδώνιες. Παρατηρείται λοιπόν ότι οι ασβεστόλιθοι Σιλιών (Σχ. 30) έχουν προσβληθεί από κανονικά ρήγματα άλματος 1-4 μέτρων και διεύθυνσης ΒΒΑ-ΝΝΟ που αποσβένονται μετά τα πρώτα 5-6 μέτρα των κατωτέρων σχιστολίθων με Ποσειδώνιες. Τα κατώτερα όμως 5-6 μέτρα των σχιστολίθων έχουν υποστεί συνιζηματογενείς πτυχώσεις (slumping) των οποίων η διεύθυνση των αξόνων και των κυλίνδρων είναι ίδια με εκείνη των ρηγμάτων. Διαπιστώνεται επομένως και στην εν λόγω θέση, ότι πρόκειται για συνιζηματογενή παλαιορήγματα της ίδιας περίπου ηλικίας (Κατώτερο Ιοάρσιο) με τις προηγούμενες περιπτώσεις.

III. ΣΥΜΠΕΡΑΣΜΑΤΑ

Οι παραπάνω παρατηρήσεις ενισχύουν πρώτα απ'όλα το μοντέλο εξέλιξης (ΚΑΡΑΚΙΤΣΙΟΣ 1988) της Ιονίου ζώνης κατά το Ιουρασικό και επιπλέον αποδεικνύουν:

1- ότι η ηλικία έναρξης του εφελκυσμού με την οποία συνδέεται η διαφοροποίηση της Ιονίου ζώνης τοποθετείται στο Καρίειο όπως προκύπτει από την ηλικία των ασβεστολίθων Ηούρου (ΚΑΡΑΚΙΤΣΙΟΣ & BONNEAU υπό δημοσίευση) που αποτελούν τα πρώτα ιζήματα των οποίων η φάση σημειώνει τη βύθωση της εκτενούς νηριτικής πλατφόρμας στο επίπεδο της Ιονίου ζώνης. Οι ασβεστόλιθοι Ηούρου καθώς και οι πλευρικά τους ισοδύναμοι ασβεστόλιθοι Σιλιών (ΚΑΡΑΚΙΤΣΙΟΣ & TSAILA-MONOPOLIS, 1988) αντιστοιχούν επομένως στα πρώτα συν-rift ιζήματα της Ιονίου ζώνης. Ο εφελκυσμός αυτός πιθανότατα εκφράστηκε με τα μεγάλα κρασπεδικά ρήγματα που διαχώρισαν την Ιόνια ζώνη από τις παρακείμενες νηριτικές ζώνες Παξιών (Προαπούλιας) και Γαβρόβου, δίνοντας οντότητα στις τρεις διαφορετικές ζώνες που μέχρι τότε μπορούσαν να κατανοηθούν ως τμήματα μιας ενιαίας νηριτικής πλατφόρμας του Κατωτέρου ως μέσου Ηιασίου p.p. Η πλατφόρμα αυτή αντιπροσωπεύει επομένως την προ-rift περίοδο του νοτίου παθητικού περιθωρίου της Τηθύος στο επίπεδο των Ελληνίδων, οι δε ασβεστόλιθοι Παντοκράτορα τα προ-rift ιζήματα του χώρου τον οποίο θα καταλάβει η Ιόνια ζώνη.

2- την ύπαρξη κανονικών συνιζηματογενών παλαιορηγμάτων των οποίων η ηλικία τοποθετείται στο διάστημα Κιμμερίδιο-Ομομέριο και των περισσότερων στο Κάτω Ιοάρσιο. Η διεύθυνση τους γενικά είναι ΒΒΩ ως ΒΒΑ και αναλόγως με το περιστρεπτό τέμαχος στο οποίο βρίσκονται είναι κάθε φορά παράλληλη με τη διεύθυνση της αποσφήνωσης των Ιουρασικών σχηματισμών του συγκεκριμένου τεμάχους καθώς και με τη διεύθυνση των συνιζηματογενών πτυχών όταν αυτές συνυπάρχουν. Τα ρήγματα αυτά συνδέονται με την εσωτερική διαφοροποίηση της Ιονίου λεκάνης σε μικρότερες παλαιογεωγραφικές ενότητες σύμφωνα με το από τον ΚΑΡΑΚΙΤΣΙΟ (1988) προταθέν μοντέλο. Τα ρήγματα όμως που παρατηρήθηκαν δεν αντιστοιχούν προφανώς στα μεγάλα ρήγματα που διαχώρισαν τις μικρές αυτές παλαιογεωγραφικές ενότητες στο εσωτερικό της Ιόνιας λεκάνης γιατί αυτά κατά κανόνα μετατράπηκαν σε επιφάνειες επίπλευσης κατά την διάρκεια των ορογενετικών δυνάμεων συμπύεσης του Ολιγοκαίνου

(KARAKITSIOS 1986), αλλά σε μικρά σύγχρονα δευτερεύοντα ρήγματα που δεν έθιξαν ούτε οι ορογενετικές δυνάμεις συμπέσης ούτε και η μεταορογενετική νεοτεκτονική. Με την έννοια αυτή υπάρχει πλήθος από παλαιορήγματα του Κατώτερου Ιουρασικού που επαναλειτούργησαν τόσο υπό το καθεστώς του εντατικού πεδίου της ορογένεσης όσο και της μεταορογενετικής νεοτεκτονικής.

3- Τα κενά ιζηματογένεσης που παρατηρούνται στα διάφορα τμήματα της Ιονίου λεκάνης (από το Καρίλιο ως το Ουφόρδιο s. supra) καθώς και οι πλευρικές μεταβολές του πάχους και της φάσης των ιζημάτων του Ανωτέρου Ιουρασικού, δείχνουν ότι η περίοδος συν-rift συνεχίζεται με βεβαιότητα μέχρι και το Κιμμερίδιο. Επομένως τά μετα-rift ιζήματα της Ιονίου ζώνης, δεν αρχίζουν με το σχηματισμό των ασβεστολίθων με filaments στο διάστημα Ααλένιο-Βαθώνιο ως Μέσο Καλλόβιο, όπως θεωρήθηκε από το DANELIAN (1989). Η ορογενοποίηση των συνθηκών ιζηματογένεσης σε όλη την Ιόνιο λεκάνη γίνεται στο τέλος του Ιουρασικού με την απόθεση των ασβεστολίθων Βίγλας στο Ανώτερο Τιθώνιο-Κατώτερο Σενώνιο (BP 1971, KARAKITSIOS & al. 1988), των οποίων ο υψηλός ρυθμός ιζηματογένεσης τείνει να εξαλείψει άλλες τις υποθαλάσσιες τοπογραφικές διαφορές. Οι ασβεστόλιθοι Βίγλας -παρόλο που η απόθεσή τους απαντά σε όλη τη μεσογειακή Τηθύ (Majolica, Biancone, Lattimusa κλπ.) και πιθανά συνδέεται με φαινόμενα που αφορούν στον ευρύτερο αυτό χώρο (DE WEVER & al. 1986, KARAKITSIOS & al. 1988)- αντιστοιχούν με βεβαιότητα στη μετα-rift περίοδο της Ιονίου ζώνης. Εντούτοις οι σημαντικές πλευρικές διαφορές του πάχους των ασβεστολίθων Βίγλας δείχνουν ότι η διαφορετική βύθιση συνεχίζεται. Το φαινόμενο αυτό μπορεί να ερμηνευτεί με την επίδραση της αλατοκίνησης της εραποριτικής βάσης της Ιονίου σειράς, η οποία θεωρητικά συμμετέχει όχι μόνο στο μηχανισμό διαφοροποίησης της Ιονίου λεκάνης κατά τη φάση συν-rift, αλλά επιδρά λαχρ της συνεχούς συσσώρευσης ιζημάτων (KARAKITSIOS, 1986) και στη μετα-rift περίοδο,

4- η διεύθυνση του εντατικού πεδίου εφελκυσμού που συνδέεται με τα παλαιορήγματα του Κάτω Ιουρασικού, αναφέρεται στην παλαιογεωγραφία εκείνης της περιόδου και συνεπώς αναμένεται γενικά να είναι διαφορετική από τη διεύθυνση του εντατικού πεδίου εφελκυσμού που συνδέεται με τη μεταορογενετική νεοτεκτονική, η οποία αντιστοιχεί σε εντελώς διαφορετική παλαιογεωγραφία (προσεγγίζει σε μεγάλο βαθμό τη σημερινή γεωγραφία). Τα παλαιορήγματα που παρατηρήθηκαν παρέχουν ενδείξεις προς τη κατεύθυνση αυτή, ο σαφής όμως διαχωρισμός της παλαιοεφελκυστικής φάσης του Ιουρασικού και της νεοτεκτονικής φάσης παραμένει ένα ανοικτό για μελέτη πρόβλημα.

BIBΛΙΟΓΡΑΦΙΚΕΣ ΑΝΑΦΟΡΕΣ

- AUBOUIN J. (1959): Contribution à l'étude géologique de la Grèce septentrionale; les confins de l'Épire et de la Thessalie. Ann. géol. Pays Hell., t. 10, p. 1-483, Athènes.

- BERNOULLI D. & RENZ O. (1970): Jurassic Carbonate Facies and New Ammonite Faunas from Western Greece. *Eclogae Geol. Helv.*, v.63/2, p. 573-607, Basle.
- B.P. (1971): The geological results of petroleum exploration in Western Greece. *Inst. Geol. Subsurface Res.*, v. 10, 73p., Athens.
- DANELIAN T. (1989): Radiolaires jurassiques de la zone ionienne (Epire, Grèce). *Paléontologie-Stratigraphie. Implications paléogéographiques. Thèse Doct., Univ. P. et M. Curie*, 260 p., Paris.
- DE WEVER P., RICOU L.E. & FOURCADE E. (1986): La fin brutale de l'optimum radiolaritique au Jurassique terminal: l'effet de la circulation océanique. *C. R. Acad. Sci.*, t. 302, Série II, p. 665-670, Paris.
- IGRS-IFP (1966): Etude géologique de l'Épire. *Technip*, 306 p., Paris.
- KARAKITSIOS V. (1986): Sur la différenciation de la zone ionienne en Épire (Grèce nord-occidentale). *Πρακτικά 3ου Συνεδρίου. Δελτ. Ελλ. Γεωλ. Εταιρ., Τομ. XX/2*, σελ. 181-196, Αθήνα.
- KARAKITSIOS V., DANELIAN T. & DE WEVER P. (1988): Datation par les Radiolaires des Calcaires à Filaments, Schistes à Posidonies supérieurs et Calcaires de Uigla (zone ionienne, Épire, Grèce) du Callovien au Tithonique terminal. *C. R. Acad. Sci.*, t. 306, Série II, p. 367-372, Paris.
- KARAKITSIOS V. & TSAILA-MONOPOLIS S. (1988): Données nouvelles sur les niveaux supérieurs (Lias inférieur-moyen) des calcaires de Pantokrator (zone ionienne moyenne, Épire, Grèce continentale). *Description des calcaires de Louros. Rev. micropaleont.* v. 31, p. 49-55, Paris.
- KARAKITSIOS B. (1988): Νέα στοιχεία επί της στρωματογραφίας των Ιουρασικών σχηματισμών της Ιονίου σειράς στην Ηπειρο (Ελλάς). *Τεκτονικές και παλαιογεωγραφικές συνέπειες. Πρακτικά 4ου Συνεδρίου. Δελτ. Ελλ. Γεωλ. Εταιρ., Τομ. XXIII/2*, σελ. 59 - 74, Αθήνα.
- KARAKITSIOS V. & BONNEAU M. (υπό δημοσίευση).